

# مرواری بر چالش‌های موجود در طراحی شناورهای تندروی

## سرشی و ارائه‌ی راهکارهایی در مواجهه با آن چالش‌ها

غلامرضا صالحی<sup>۱</sup>، حسن قاسمی<sup>۲</sup>

<sup>۱</sup>کارشناسی ارشد مهندسی ساخت در صنایع دریایی - دانشگاه صنعتی امیرکبیر؛ gholamreza-salehi@aut.ac.ir

<sup>۲</sup>استاد دانشگاه صنعتی امیرکبیر-دانشکده مهندسی دریا؛ gasemi@aut.ac.ir

(تاریخ دریافت: ۹۵/۳/۳۰؛ تاریخ پذیرش: ۹۵/۴/۲۴)

### چکیده

امروزه احساس نیاز به سرعتهای بالاتر در صنایع دریایی به غیر از امور نظامی، حتی در زمینه‌هایی چون امداد و نجات، مسابقات ورزشی و تفریحی نیز مورد تقاضا است. با نگرش به اینکه صرفاً شناورهای کوچک، تندرو محسوب نمی‌شوند، رسیدن به سرعتهای بالا در سایزهای بزرگ‌تر نیز می‌تواند موردنیاز باشد. این نیاز در دنیا به صورت مداوم در حال گسترش است، به‌طوری‌که دائماً در حال مشاهده‌ی تغییر و تحول در زمینه‌ی شناورهای تندرو در دنیا هستیم. در کشور ما نیز، در همه‌ی عرصه‌ها شاهد توسعه‌ی روزافزون شناورهای تندرو هستیم. این رشد و توسعه در زمینه‌های تحقیقاتی و پژوهشی قابل ملاحظه‌تر است. از این‌رو، در این مطالعه، چالش‌ها و راهکارهای موجود در طراحی این نوع شناورها در تحقیقات انجام‌شده‌ی منتخب، مورد مرور و بازبینی قرار گرفته است. به این ترتیب که در ابتدا مرواری بر مفاهیم اولیه و پایه‌ای در شناور سرشی و ویژگی‌های هندسی آن صورت گرفته، روابط موجود در تعریف شناور سرشی و همچنین، فرم‌های بدنه‌ی متدالو آن یادآوری، سپس، به انواع نیروهای مؤثر در طراحی شناورهای تندرو اشاره گردیده است. در ادامه، با معرفی یکی از پدیده‌های چالشی مهم در طراحی شناورهای تندرو، به بررسی حالت خاصی از آن پدیده پرداخته شده است. چالش‌های کلی طراحی و نحوه‌ی طبقه‌بندی چالش‌های مقابله با این پدیده معرفی شده است. همچنین، طی جدولی راهکارهای مختلف هر چالش به صورت کلی ارائه گردید. نهایتاً با بیان برخی پژوهش‌های انجام‌شده در مبحث شناورهای تندرو، به مرور نوع چالش‌ها و چگونگی تأثیر راهکار انتخاب شده در حل آن چالش‌ها پرداخته شده است.

### واژه‌های کلیدی

شناور تندرو، شناور سرشی، چالش و راهکارهای طراحی، حالت سرش، شناور پروازی.

## A survey of the challenges in designing high speed craft and its remedies

Gholamreza Salehi<sup>1</sup>, Hassan Ghassemi<sup>2</sup>

<sup>1</sup>Msc in marine engineering Amirkabir University of Technology, Gholamreza-salehi@aut.ac.ir

<sup>2</sup>Professor of Marine Hydrodynamics, Amirkabir University of Technology, Department of Maritime Engineering

Gasemi@aut.ac.ir

(Submitted: 2016/Jun/19; Accepted: 2016/July/14)

### Abstract

Today, there is a great demand for higher speeds in the maritime industry, not just for military affairs, but also in areas such as search and rescue, sports and entertainment. Regarding the fact that not only small ships, are considered the high speed craft, reaching high speeds in larger sizes can also be required, and the its demand in the world is constantly increasing. Therefore we are constantly watching the changes and developments in the technology of high speed craft vessels in our world. Accordingly, in this study, the challenges and the dolutions in the design of these vessels, have been investigated. Firstly, there is an overview of the basic concepts and geometrical features. Then, a major challenge in the design of high-speed craftis introduced and then we express how to classify the challenges. And. Afterwards, different solutions regarding eachchallenge are generally presented in the table. Finally, some related studies about the challenges are investigated and we are also going to solve them here.

### Keywords

high speed craft, design challenges, challenge remedy

## ۱- مقدمه

ضرایب فشار برای هر بخش، سپس، ضرایب فشار کلی بدنه به تعیین مقاومت و مشخصه‌های هیدرودینامیکی این شناور پرداخته شد [۱۳].

مطالعات روی شناورهای تندره محدود به این موارد نیست. در سال ۱۹۷۴ روش المان محدود فشاری برای حل جریان در نزدیک صفحه دوبعدی بالای سطح آزاد یک سیال غیر ویسکوز ارائه شد [۱۴]. ساهو و همکارانش نیز از روش دینامیک سیالات محاسباتی برای محاسبه مقاومت موج یک کاتاماران استفاده کردند [۱۵]. هینو، هیراتا و هوری به بررسی کاربرد روش اختلاف محدود برای مطالعه هیدرودینامیک پلنینگ پرداختند [۱۶]. استفان تی و همکارانش نیز بر روی مدل‌سازی معادلات RANS برای بررسی لیفت پلنینگ ایجاد شده توسط ورق‌های تخت دوبعدی مرکز شدند [۱۷]. بریزوولا را دقت کدهای دینامیک سیالات محاسباتی را در تعیین پارامترهای دینامیکی شناورهای پروازی مطالعه نمود [۱۸]. سواندر نیز مقایسه بین نتایج تجربی و عددی را برای مؤلفه‌های هیدرودینامیکی شناورهای حالت پروازی انجام داد [۱۹]. در خصوص مطالعه سایر متعلقات، مانند هیدروفویل تریم تب، در شناورهای تندره نیز مطالعاتی صورت گرفته است که به عنوان مثال بولز و همکارانش با بررسی روابط هندسی که در توزیع سطح آب در اطراف شناور حاکم است، رابطه‌ای را جهت محاسبه طول خیس شده کیل و چاین شناور ارائه کردند [۲۰]. عمریاکوب نیز به بررسی اضافه کردن باله جهت کاهش مقاومت شناورهای حالت پروازی پرداخت [۲۱]. بوجویک و همکارانش تأثیر پاشنه و اسپری ریل را بر مقاومت شناور در حالت پروازی مطالعه کردند [۲۲]. ناگای با مطالعه بر روی ۱۳ مدل گوناگون در جهت حداقل کردن مقاومت شناور به کمک کنترل زاویه‌ی تریم تلاش نمود [۲۳]. در زمینه‌ی مکانیزم کنترل کننده‌های تریم و اثر کاهش تریم در مقاومت تحقیقات دیگری نیز صورت گرفته است [۲۴، ۲۵].

در مجموعه‌ی مطالعات مذکور در بالا، راهکارهای مختلفی جهت بهتر شدن عملکرد شناور در مواجهه با یک یا چند چالش موردنبررسی قرار گرفته است که هر کدام به نوعی می‌تواند اهمیت مشخص شدن چالش‌ها و راهکارها را به خوبی نمایان نماید.

شناورهای تندره سرشی برای رسیدن به سرعت‌های بالا و مدنظر طراح با چالش‌های مختلفی رو برو هستند؛ چالش‌هایی چون چگونگی غلبه بر نیروهای مقاومت هیدرودینامیکی، آئرودینامیکی و مقاومت موج‌سازی قبل از مرحله رسیدن به سرش تا عدم پایداری دینامیکی طولی و عرضی و توانمندی حفظ مسیر بعد از مرحله سرش. طراح باید برای بهینه کردن وضعیت شناور در مواجهه با هر کدام از این چالش‌ها به اتخاذ راهکارهای مناسب بپردازد. در این زمینه، مطالعات بسیاری صورت گرفته است. شاید بتوان مطالعات صورت گرفته بر روی هواپیماهای آبنشین را از عوامل گردآوری اطلاعات تجربی مناسب در این خصوص دانست. در اوخر قرن نوزدهم و اوایل قرن بیستم، تحقیقاتی در خصوص افزایش سرعت شناورهای سطحی صورت پذیرفت [۱].

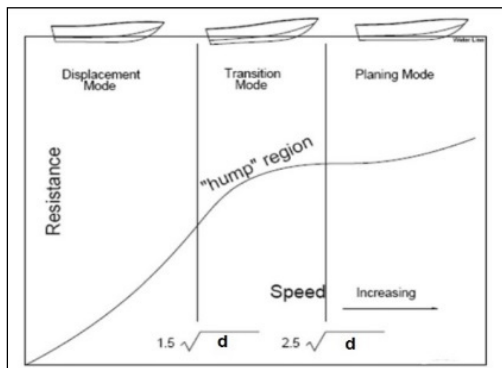
یکی از قدیمی‌ترین و مهم‌ترین فعالیت‌های صورت گرفته در زمینه‌ی شناورهای تندره مربوط به فعالیت‌هایی است که ساویتسکی در سال ۱۹۶۴ انجام داده است [۲]. ساویتسکی بعدها (۱۹۷۰ تا ۱۹۹۲) نیز مقالاتی در خصوص اثرات ویسکوزیته سطح آزاد که منجر به تولید امواج سطحی می‌گردد، نیز منتشر نمود [۳، ۴]. البته، در سال ۲۰۰۷ نیز ساویتسکی با اضافه کردن مقاومت اسپری آب به کار قبلی خود مقاله‌ای منتشر نمود [۵]. یکی از روش‌های شناسایی رفتار هیدرودینامیکی و مشخصه‌های توزیع فشار در زیر بدنه‌های منشوری در سطح آب استفاده از نتایج آزمایشگاهی یا تجربی سقوط گوه در آب می‌باشد که واگنر برخورد دوبعدی یک گوه به سطح آب را مطالعه نمود [۶]. اخیراً ژاو و فالتنیسن مطالعات واگنر را تکمیل کردند [۷]. ایکیدا و همکارانش نیز وضعیت هیدرودینامیکی یک سری از بدنه‌ها با نسبت طول به عرض بین ۳ تا ۶ با چاین تیز را مطالعه نمودند [۸]. کلمنت و بلانت نیز در زمینه‌ی تغییرات مقاومت و آبخور، پژوهشی انجام دادند [۹]. در همین زمینه، کونینگ و گریتسما مطالعاتی داشته‌اند [۱۰، ۱۱]. سوان نیز روش ساویتسکی را برای شناورهای تندره‌ی معمولی توسعه داد و بر مبنای نتایج تجربی یک روند محاسباتی را برای پیش‌بینی رفتار هیدرودینامیکی شناور تندره با یک پله‌ی عرضی ارائه نمود [۱۲]. در روش جالب دیگری، با گسسته‌سازی بدنه‌ی شناور تندره درایز متغیر و اعمال آن در روش نیمه‌تجربی ساویتسکی و تعیین

## ۲- مفاهیم اولیه و پایه‌ای

### ۱-۲- شناور سرشی

در شناورهای جابجایی به علت افزایش نیروی مقاومت ویسکوز متناسب با نسبت توان دوم سرعت و همچنین، افزایش نیروی مقاومت موج‌سازی با نسبت توان چهارم، نمی‌توان سرعت را از مقدار بیشینه تقریباً ثابتی بالاتر برد. این موضوع در شناورهای تندره به علت تغییر محدوده‌ی عدد فرود امکان‌پذیر می‌باشد؛ زیرا با کاهش طول خط آبخور امکان عبور از محدوده‌ی فرود بحرانی می‌سرد. در شناورهای تندره با خط آبخور به طول  $d$  در سرعتی در حدود  $V = 1.5\sqrt{d}$  سرش شروع شده و با گذر از یک حالت انتقال تا سرعت حدوداً  $V = 1.5\sqrt{d}$  به حالت کاملاً سرشی دست پیدا می‌کند.

مطالعات انجام‌شده بر روی انواع شناورهای تندره، بیانگر این نکته است که شناورهای تندره در اعداد فرود بین  $0.4 / 0.5$  با توجه به عواملی همچون وزن، موقعیت مرکز ثقل و فرم بدن، دارای مقاومت بالایی موسوم به مقاومت اسکی می‌باشند. این نوع شناورها می‌بایست برای رسیدن به سرعت طراحی از این مقاومت عبور نمایند. شکل شماره (۱) به صورت شماتیک منحنی مقاومت و محل مقاومت اسکی را در شناورهای تندره نشان می‌دهد [۲۶].

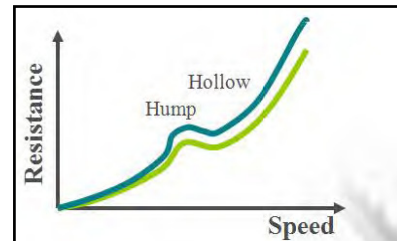


شکل (۲): مراحل سرش شناور از سرعت صفر.

از آنچه گفته شد می‌توان نتیجه گرفت که حداکثر سرعت قابل حصول در یک شناور با وزن و توان پروانه‌ی مشخص قابل پیش‌بینی می‌باشد؛ به عبارت دیگر، معیار حداکثر سرعت قابل دست‌یابی را می‌توان بر اساس واحد وزن بر توان پروانه تعريف کرد.

### ۲-۲- شکل کلی بدنی شناورهای تندره

شناورهای تندری متداوی در سه شکل کلی، (الف) کف تخت، (ب) کف وی-شکل و (ج) کف گرد، دسته‌بندی می‌شوند. می‌توان عوامل مهم در مشخص کردن شکل شناورهای تندره را محدود به سرعت، طول شناور و حجم شناور دانست، زیرا شناوری با حجم و طول مشخص باید بتواند به محدوده‌ی سرعت تندره بودن برسد. برای عوامل سرعت، طول و حجم معین، می‌توان عددی بعده فرود و عدد بی‌بعد دیگری متصل از نسبت بی‌بعد طول به حجم را تعريف کرد. ارتباط شکل با این اعداد طبق جدول شماره‌ی یک و شکل شماره‌ی (۲) نشان داده شده است [۲۷].



شکل (۱): شماتیک منحنی مقاومت و محل مقاومت اسکی در شناورهای تندره.

با برآنچه بیان شد، شناورهای سرشی به شناورهایی گفته می‌شود که بدنی آن بر اثر سرش و سرخوردن روی سطح آب، نیروی لیفت مناسبی تولید می‌کند که بتواند بخشی از بدنی شناور را از سطح آب جدا کند و باعث کاهش قابل‌ملاحظه‌ای در سطح خیس شناور گردد. با جدا شدن بخشی از بدن از سطح شناور برای کاهش سطح خیس شناور، یک زاویه‌ی تریم برای شناور ایجاد می‌شود، از این منظر حالت سرش وقتی اتفاق می‌افتد که نسبت درگ به لیفت در یک زاویه‌ی تریم مشخص اصولاً ثابت

هر کدام از آنها، هیچ‌گونه رابطه، قانون علمی و منطقی اثبات شده، موردن توافق و قطعی وجود ندارد و آنچه موجود است، بیشتر وابسته به اطلاعات تجربی طراحان و سازندگان این نوع شناورها می‌باشد.

شکل (۳) اجزای مختلف این شناورها و شکل (۴) انواع بدنه در شناورهای تندره را نشان می‌دهد [۲۷]. [۲۸].  
رابطه‌ی زیر برای محاسبه‌ی آن ارائه شده است.

$$R_F = \frac{C_F p U_1^2 (\lambda b^2)}{2 \cos \beta \cos \theta} \quad (3)$$

$U_1$  سرعت متوسط کف شناور می‌باشد که با استفاده از روش پاسخ سطح<sup>۸</sup> و اطلاعات مرجع [۲۱] به صورت زیر قابل محاسبه است. (۴)

$$\frac{U_1}{U} = \sqrt{1 - \frac{0.012 \tau^{1.1}}{\lambda^{0.5} \cos \theta} F(\beta)} \quad (5)$$

$$F(\beta) = 0.0127 \lambda^2 + 0.125 \lambda \tau - 0.22 \lambda + 0.05 \tau - 0.05 \beta + 1.30$$

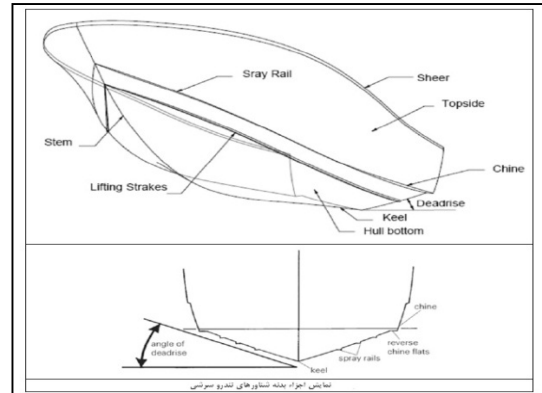
با ذکر این نکته که سطح خیس مورداستفاده برای تعیین آن حاصل ضرب لاندا در مجذور عرض  $b$  است [۲۸]. مقاومت اسپری از فرمول‌های ارائه شده محاسبه و با استفاده از قوانین تشابه به مدل اصلی تعمیم داده شود. مقاومت فشاری نیز برای سیال ایده‌آل (بدون اصطکاک) نیروی مماسی صفر است؛ بنابراین، برای یک زاویه‌ی تریم بارگذاری  $\Delta$  و نیروی عمود بر کف شناور پروازی به صورت زیر محاسبه می‌شود (RP مقدار مقاومت فشاری N شناور است):

$$R_p = \Delta t g \tau \quad (6)$$

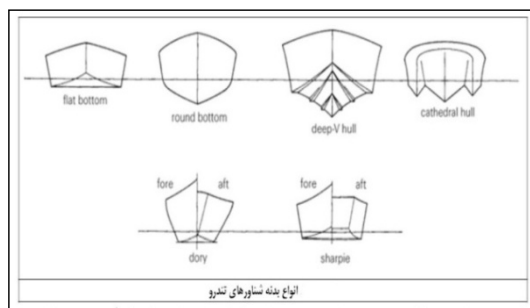
به طور کلی، هندسه ناحیه‌ی اسپری به زوایای تریم و درایز و سرعت شناور بستگی دارد. ساویتسکی در مطالعه‌ای بر رابطه بین طول خیس شده زاویه‌ی تریم و زاویه‌ی درایز را بیان کرده است [۲۲]. در محاسبه‌ی مقاومت هوا نیز بهتر است اشاره کنیم که ضریب مقاومت آئرودینامیکی برای بدنه‌های تندره پروازی تک‌بدنه نیز در آزمایشگاه دیویدسون مشخص گردیده است [۳۰، ۲۹].

### ۳- چالش‌های طراحی شناور تندره

در طراحی شناورهای تندره موارد بسیار زیادی وجود دارند از زیبایی شکل ظاهری و رسیدن به سرعت موردنیاز



شکل (۳): اجزای مختلف بدنه‌ی یک شناور تندره.



شکل (۴): انواع بدنه در شناورهای تندره سرشی.

### ۳-۲- ضریب منظری

یکی از موارد مؤثر در طراحی شناورهای تندره، ضریب منظری می‌باشد که در شناورهای سرشی به صورت نسبت‌های زیر تعریف می‌گردد. صورت کسر توان دوم عرض متوسط و مخرج کسر مساحت تصویر شده از بالا است:

$$SAR = \frac{\bar{b}_w^2}{S} \quad (1)$$

یا نسبت طول متوسط به عرض متوسط (با توجه به تغییرات عرض در طول شناور و طول خیس متغیر در حین حرکت):

$$AR = \frac{\bar{b}_w}{L_w} \quad (2)$$

### ۴- هندسه بدنه شناورهای سرشی

اجزای کلی هندسه‌ی شناور، شامل خیز کف<sup>۱</sup>، خطوط شکستگی<sup>۲</sup>، نوارهای لیفت<sup>۳</sup>، یا ریل اسپری<sup>۴</sup>، نوارهای طولی<sup>۵</sup>، بیلچ<sup>۶</sup> و کیل<sup>۷</sup> می‌باشد. در مورد ویژگی‌های طراحی

<sup>5</sup> longitudinal strake

<sup>6</sup>Bilge

<sup>7</sup>Keel

<sup>8</sup>Response Surface Method

<sup>1</sup>deadrise

<sup>2</sup>chine

<sup>3</sup>Lifting sreake

<sup>4</sup>spray rail

خاص مختص شرایط موجود در آن طراحی می‌باشد و باید ابتدا مشخص و سپس، راهکار مناسب جهت آنها را به کار برد.

**۵- بررسی چالش ناپایداری دینامیکی**  
پایداری دینامیکی یکی از موارد و چالش‌های مهمی می‌باشد که باید موردنویجه و بررسی دقیق طراحان قرار بگیرد؛ زیرا ارزیابی نهایی عملکرد شناور در دریا یا محیط مورداستفاده در مواردی همچون حفظ مسیر، حفظ تعادل، عدم واژگونی مخصوصاً در شرایط متلاطم دریا با این موضوع ارتباط تنگاتنگی دارد. البته، ممکن است محاسبات مختلفی مانند محاسبه طول خشک در پشت پله‌ی عرضی شناورها هم نیاز باشد که دارای آن هستند. برآورده پایداری این مدل شناورها با مراجعه به مطالعه ساویتسکی قابل انجام است [۳۱]. به طور کلی، ناپایداری‌هایی که ممکن است برای شناور تندرو رخ دهد در شکل (۵) نمایش داده شده است. [۲۸]

GENERAL TYPES OF INSTABILITY REF: COHEN & BLOUNT				
		HYDROSTATIC	HYDRODYNAMIC	
DISPLACEMENT		SEMIDISPLACEMENT	PLANING	
INCREASING FROUDE NUMBER				
TRANSVERSE	TRANSVERSE HYDROSTATICS $GM_T \leq 0$	LOSS OF $GM_T$ DUE TO WAVE EFFECT	ROLL INSTABILITY NON ZERO HEEL NON OSCILLATORY	"CHINE WALKING" DYNAMIC ROLL OSCILLATION
	LONGITUDINAL HYDROSTATICS $GM_L \leq 0$	LOSS OF $GM_L$ DUE TO WAVE EFFECT	TRIM INSTABILITY BOW DROP NON OSCILLATORY	"PORPOISING" DYNAMIC PITCH-HEAVE OSCILLATION
	COMBINED $GM_T \leq 0$ $GM_L \leq 0$	COMBINED WAVE EFFECT	BROACH NON OSCILLATORY	"CORKSCREW" PITCH-YAW-ROLL OSCILLATION

شکل (۵): ناپایداری‌ها در شناورهای تندرو.

بدیهی است که بررسی کلیه‌ی موارد خارج از حیطه‌ی این مقاله می‌باشد. لکن ناپایداری طولی دینامیکی یا پروپویزینگ به عنوان یک چالش شایع و مهم در طراحی شناورهای سرشی موردنبررسی قرار می‌گیرد.

**۶- ناپایداری طولی دینامیکی (پروپویزینگ)**  
با افزایش یکنواخت سرعت در شناورهای مدرن سرشی ناپایداری طولی دینامیکی به یک مشکل اصلی در طراحی قایق‌های سرشی تبدیل شده است. ناپایداری طولی یا همان

تا پایداری دینامیکی مطلوب که گاهی تأثیر عکس نیز بر روی یکدیگر دارد، به نحوی که تلاش در جهت تأمین کردن شرایط مطلوب برای ارضی یک شرط ممکن است عامل نامطلوب شدن گزینه دیگر شده و یک اشکال دیگر برای شناور به وجود آورد. در این قسمت، تعدادی از موارد مهم و غیرقابل صرف نظر کردن در مبحث طراحی عنوان شده است. همچنین، برخی مطالعات و راهکارهای انجام شده بر روی آن نیز ارائه می‌گردد.

### ۳- اهداف مهم در طراحی

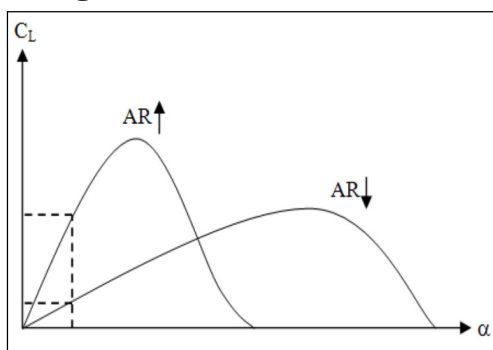
- رسیدن به مرحله‌ی سرش با صرف کمترین توان ممکن و پایین بودن بیشینه مقاومت در فرود بحرانی.
- امکان حرکت آرام و سرشی در امواج و دریایی نا آرام.
- کم‌هزینه بودن و سهولت پروسه‌ی ساخت.
- ایجاد نیروی لیفت مناسب به نسبت توان صرف شده.
- جلوگیری از ضربات سنگین و کوبش کف و آسیب‌های سازه‌ای.
- کاهش مقاومت اسپری آب.
- پیش‌بینی و ارزیابی بازدهی شکل‌های سرشی طراحی شده.
- یک طرفه نشدن در هنگام چرخش شناور با سرعت بالا.
- جلوگیری از وقوع کاویتاسیون در بدنه و متعلقات.
- کاهش احتمال وقوع ناپایداری‌های دینامیکی (مانند پروپویزینگ، بروچینگ، اسلمینگ، غلتی، هیل و حرکات عرضی شدید و غیره).

### ۴- پیدا کردن چالش اصلی در طراحی

در هر طراحی ممکن است مورد داشته باشد و با همه چالش‌های ذکر شده مواجه نباشیم، لکن این که با کدام مورد مواجه هستیم، بستگی به نوع شناور و اهداف طراحی دارد. مثلاً، یکی از مشکلات برخی شناورهای تندرو کوبش و ضربات سنگین کف در سرعت بالا می‌باشد. این مشکل در شناورهای با بدنه‌ی وی-شکل و زاویه‌ی دردراز کمتر وجود دارد؛ بنابراین، چنانچه کارفما شناوری با بدنه‌ی کف تخت را درخواست کرده باشد، با توجه به توان پرونده و محدوده سرعت موردنیاز طراحی و سایر محدودیت‌ها باید به پیش‌بینی این مسئله پرداخت؛ به عبارت دیگر، هر شناور با توجه به ویژگی‌های خاص بدنه و موارد خواسته شده در طراحی، همچنین محل استفاده (رودخانه، دریاچه، اقیانوس) یا شرایط مدنظر (آرام، طوفانی) با دسته‌ای از چالش‌ها مواجه است که به صورت



با توجه به آنچه از نمودار شکل (۶) قابل استنباط است، با کاهش ضریب لیفت محدوده‌ی تریم مجاز (که در آن ناپایداری طولی نداریم) نیز کاهش می‌یابد. نکته‌ی دیگر اینکه اثر افزایش زاویه‌ی خیز کف، افزایش زاویه‌ی مجاز تریم قبل از بروز ناپایداری طولی است. در نتیجه، برای هر شناوری با سرعت و نیروی لیفت مشخص با کاهش زاویه‌ی تریم می‌توان از ناپایداری طولی جلوگیری کرد. البته، باید یک زاویه‌ی تریم را در نظر گرفت که هم ناپایداری طولی نداشته باشیم و هم مقاومت حداقل باشد. از آنجا که ناپایداری طولی مستقیماً به قابلیت کارایی و کارآمدی شناور تندره، (مخصوصاً در شناورهای بسیار تندره) مربوط است، نسبت به مقاومت ارجحیت دارد. راهکار دیگری که از این نمودار قابل دریافت است اثر زاویه‌ی خیز بر پایداری طولی دینامیکی می‌باشد؛ زیرا با افزایش زاویه‌ی خیز، زاویه‌ی تریم مجاز برای پرهیز از ناپایداری طولی افزایش می‌یابد. در نتیجه، با افزایش زاویه‌ی خیز کف هم شناور در زاویه‌ی تریم مناسب حرکت می‌کند و هم ناپایداری دینامیکی طولی نداریم. از دیگر موارد مؤثر در میزان پایداری ضریب منظری می‌باشد، بهنحوی که کاهش ضریب منظری می‌تواند عامل افزایش پایداری باشد. البته، کاهش ضریب منظری به معنی کشیده و باریک شدن صفحه آبخور و در نتیجه تغییر شکل شناور که عامل جابجایی مرکز فشار به سمت عقب و افزایش پایداری دینامیکی گردد. نباید فراموش کرد که کاهش ضریب منظری به دلیل وجود ملاحظات هیدروداستاتیکی، سازه‌ای، جانمایی به راحتی امکان‌پذیر نباشد. شکل شماره‌ی (۷) تأثیر ضریب منظری  $AR^9$  را بر ضریب لیفت و زاویه‌ی حمله نشان می‌دهد [۲۷].



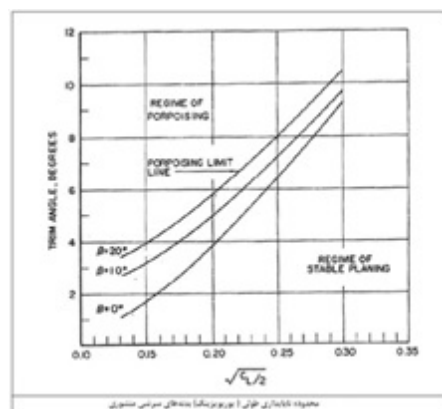
شکل (۷): تأثیر ضریب منظری بر ضریب لیفت و زاویه‌ی حمله.

پورپویزینگ ترکیب نوسانی در حرکات پیچ و هیو یک شناور با دامنه ثابت یا افزایش‌یابنده در حین حرکت سرشی در آبهای آرام می‌باشد.

این مشکل برای شناورهای تندره پدیده‌ای نامطلوب می‌باشد و می‌تواند منجر به بروز خدمات سازه‌ای و ایجاد سانحه شود. این پدیده در بین دریانوردان به کله زدن معروف است [۳۲].

در سال ۱۹۳۰، تحقیقات گسترده‌ای روی هواپیماهای آبنشین انجام شد که بعدها مشخص شد این تحقیقات قابل تعمیم به قایقهای تندره نیز می‌باشد. بعدها در سال ۱۹۵۲ نیز بهمنظور فراهم آوردن اطلاعات کاربردی برای طراحان تحقیقات و آزمایش‌های گسترده‌ای بر روی سطوح سرشی دارای خیز انجام گردید تا محدودیت‌های ناپایداری طولی بدنه‌های سرشی را مشخص نمایند که وابسته به زاویه‌ی تریم، سرعت، وزن و زاویه‌ی خیز کف می‌باشد. در واقع، به دنبال پیدا کردن ارتباط بین زاویه‌ی تریم و ضریب لیفت در زاویه‌ی خیز کف ثابت بوده‌اند که محدوده‌ی ناپایداری دینامیکی طولی را مشخص کند. نهایتاً منجر به ارائه نمودارهایی گردید که محدوده‌ی پایداری را برای هر زاویه‌ی مشخص خیز کف نشان می‌دهد.

یکی از راههای بررسی پدیده‌ی پورپویزینگ استفاده از نمودار نشان شده در شکل (۶) است که ساویتسکی در سال ۱۹۶۴ ارائه کرده است [۲].



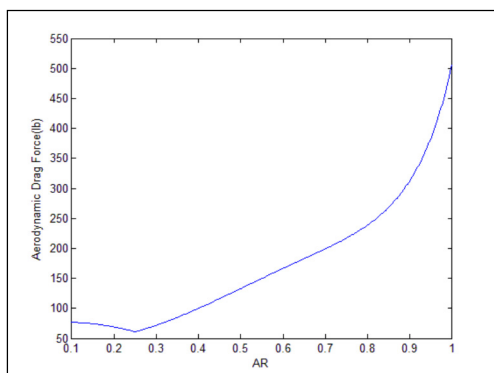
شکل (۶): نمودار وضعیت پورپویزینگ ارائه شده توسط ساویتسکی.

۲-۷- پژوهش دوم؛ اثر پارامترهای هندسی شناورهای پروازی تونل دار بر روی مقاومت کلی آنها  
هدف یا نوع چالش: کاهش نیروی مقاومت و افزایش سرعت.  
راهکار بررسی شده: اثر ضریب منظری در نیروی های مقاومت.

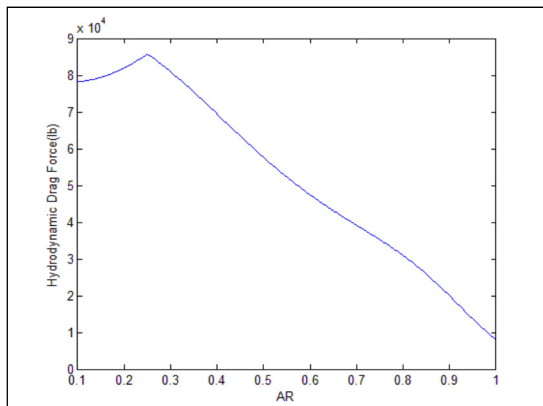
در این پژوهش، مهدی میرزایی برای طراحی هر چه بهتر شناورهای پروازی تونل دار به بررسی اثر پارامترهای هندسی پرداخته است [۳۴].

در این مطالعه، عوامل مختلفی مانند ارتفاع تونل، سرعت، وزن، زاویه حمله با توجه به نیروهای هیدرودینامیکی بررسی شده و برای محاسبه ضریب لیفت و درگ هیدرودینامیکی و آئرودینامیکی از روابط تجربی رائمه شده در مطالعه راسل استفاده شده است [۳۵].

نتایج به دست آمده در خصوص تغییرات نیروی مقاومت هیدرودینامیکی و آئرودینامیکی بر حسب ضریب منظری در شکل های (۹) و (۱۰) ارائه گردیده است.



شکل (۹): تغییرات نیروی مقاومت آئرودینامیکی بر حسب ضریب منظری.



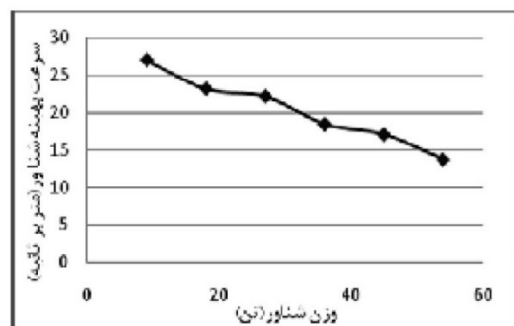
۷- بررسی نتایج برحی از راهکارها در پژوهش‌ها به صورت موردي

۷-۱- پژوهش اول؛ بهینه‌سازی پارامترهای مؤثر در عملکرد شناورهای تندرو حالت پروازی  
هدف یا نوع چالش: افزایش سرعت بیشینه.

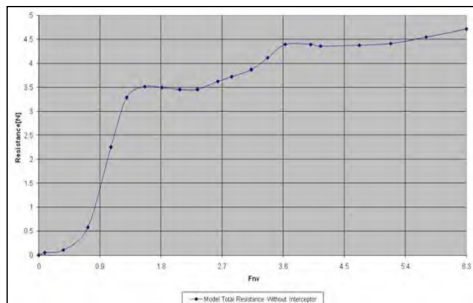
راهکار بررسی شده: بهینه‌سازی پارامترهای مؤثر در عملکرد شناور.

عباس وفایی و همکارانش به بهینه‌سازی پارامترهای مؤثر در عملکرد شناورهای تندرو حالت پروازی پرداختند [۳۳]. در این مطالعه، پارامترهای وزن، فاصله‌ی مرکز ثقل تا انتهای شناور، عرض شناور بر حسب متر، زاویه‌ی خیز کف بر حسب درجه، سرعت شناور بر حسب متر بر ثانیه، به عنوان متغیر در نظر گرفته شد و در وزن‌های مختلف با محاسبه مقاومت در هر حالت و در نظر گرفتن قیود توان موردنیاز، عدم وقوع پورپویزینگ، زاویه‌ی تریم بحرانی و روابط ساویتسکی، مقدار بهینه‌ی پارامترها برای هر وزن مشخص به دست آمد.

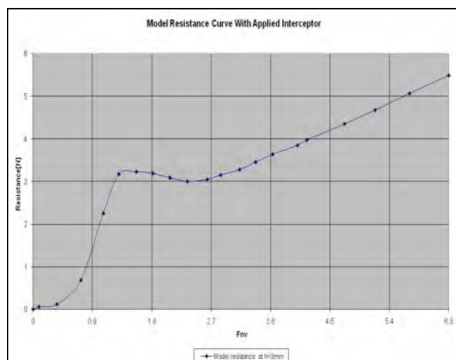
نتایج این مطالعه نشان داد هیچ‌گونه الگوی مشخصی بین مقادیر بهینه پارامترهای هندسی با وزن و همچنین، بین پارامترهای هندسی و هیدرودینامیکی وجود ندارد؛ اما افزایش وزن تأثیر مستقیم بر کاهش سرعت بهینه شناور دارد. بررسی وضعیت تغییرات ضریب سرعت بر حسب وزن طی پژوهش فوق در شکل ۸ نشان داده شده است. آنچه از نمودار دریافت می‌شود مبین روابط ساویتسکی می‌باشد. بدین معنی که هر چه میزان وزن افزایش یابد، بیشینه‌ی سرعت قابل دست‌یابی کاهش می‌یابد.



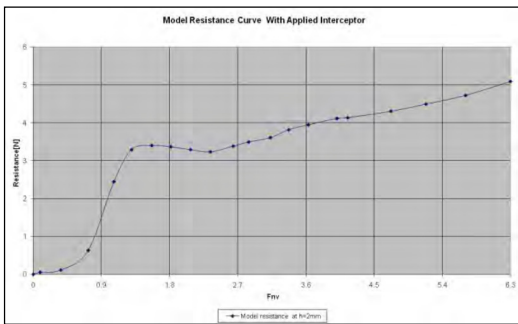
شکل (۸): بررسی تأثیرات افزایش وزن بر کاهش سرعت بهینه.



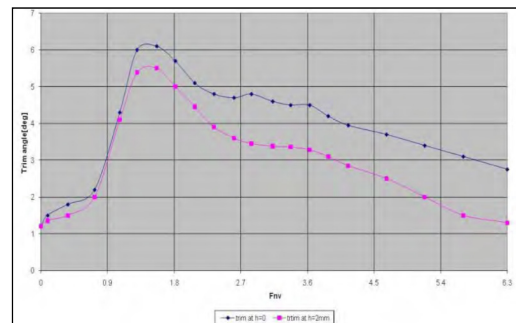
شکل (۱۱): وضعیت تریم با اینترسپتور ۲ میلی‌متر.



شکل (۱۲): وضعیت تریم بدون اینترسپتور.



شکل (۱۳): وضعیت تریم با اینترسپتور ۳ میلی‌متر.



شکل (۱۴): وضعیت تریم در ارتفاع صفر با اینترسپتور ۳ میلی‌متر.

شکل (۱۰): تغییرات نیروی مقاومت هیدرودینامیکی بر حسب ضریب منظری.

همان‌گونه که در شکل‌های (۹) و (۱۰) مشاهده می‌شود با افزایش ضریب منظری نیروی مقاومت کل، ابتدا افزایش و سپس کاهش از خود نشان می‌دهد؛ اما نیروی مقاومت آئرودینامیکی ابتدا و در ضریب منظر بسیار کم کاهش با شیب کم داشته (این میزان قابل صرف‌نظر است) و سپس، افزایش با شیبی زیاد و افزاینده خواهد داشت. تعابیر فیزیکی آن را می‌توان به این نحو ارائه کرد. در ابتدا که شناور در آب قرار دارد با افزایش ضریب منظری شاهد افزایش نیروی مقاومت هستیم، اما به تدریج که شناور به حالت پروازی می‌رسد و سطح تماس با آب شروع به کاهش می‌کند، شاهد کاهش در مقدار نیروی مقاومت کل هستیم.

-۳- پژوهش سوم؛ بررسی تأثیر اینترسپتور در شناورهای تندر و به صورت تجربی هدف با نوع چالش: افزایش تعادل دینامیکی، کاهش مقاومت و افزایش سرعت راهکار بررسی شده: استفاده از اینترسپتور

کریمی و همکارانش در این پژوهش اثرات اینترسپتور را بر روی یک مدل در دو ارتفاع مختلف اینترسپتور مورد بررسی قرار دادند [۲۶]. نتایج حاصل از این بررسی نشان داد که در محدوده‌ی عدد فرود مربوط به اسکی شناور قابل توجه می‌باشد. بهنحوی که استفاده از اینترسپتور در اعداد فرود بالا باعث کاهش تریم می‌گردد.

از آنجا که عموماً نقطه مقاومت بیشینه با نقطه‌ی تریم بیشینه منطبق می‌باشد. کنترل کننده‌های تریم برای کاهش تریم ابداع شدند و شناورهای تندر و معمولاً در پاشنه از کنترل کننده‌ی تریم استفاده می‌کنند تا بتوانند از منطقه با مقاومت بالا عبور کنند [۲۶].

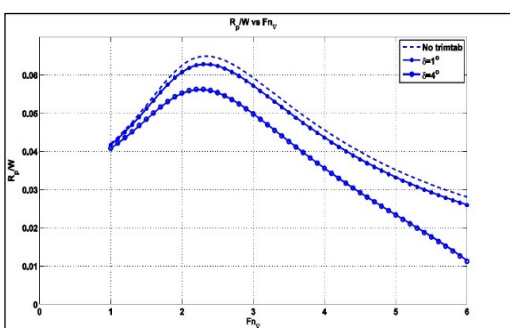
مطالعات دیگری نیز وجود دارد که مبین تأثیر اینترسپتور در کاهش تریم دینامیکی و کاهش مقاومت می‌باشند [۲۶، ۳۷، ۳۸، ۳۹].

شکل‌های (۱۱)، (۱۲)، (۱۳) و (۱۴) نتایج مقاومت شناور مدل بررسی شده در تحقیق فوق بدون اینترسپتور و با اینترسپتور در دو ارتفاع مختلف و همچنین، وضعیت تریم در همین شرایط نشان داده شده است.

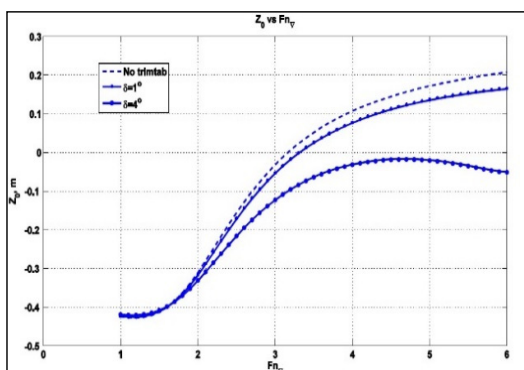
۵-۷- پژوهش پنجم؛ بررسی تأثیر تریم تب بر عملکرد شناور تندره با بدنهٔ پروازی  
هدف یا نوع چالش: کاهش قلهٔ نقطهٔ بیشینهٔ مقاومت بر حسب سرعت در سرعت‌های پایین و صرف توان کمتر راهکار بررسی شده: استفاده از تریم تب.

در این مقاله، صیادی و همکارانش تأثیر تریم تب بر شناور تندره با بدنهٔ پروازی را مورد بررسی قرار دادند [۴۴].

البته، با نصب تریم تب در انتهای شناور عوامل دیگری نیز در تحلیل مقاومت و بازده شناور می‌باشد مورد تحلیل قرار بگیرد [۴۵]. در این مطالعه، بررسی وضعیت مقاومت شناور و وضعیت تریم تب در زوایای مختلف در تعادل دینامیکی شناور مدل موردنبرسی فرآیند. شکل‌های (۱۶) و (۱۷) وضعیت فاصلهٔ مرکز ثقل شناور و تأثیر تریم تب بر مقاومت فشاری شناور بدون تریم تب و در زاویه‌های ۱ و ۴ درجه نشان داده شده است.



شکل (۱۶): تأثیر تریم تب در مقاومت فشاری.



شکل (۱۷): تأثیر تریم تب در ارتفاع مرکز ثقل از سطح آب.

نتایج بررسی انجام شده نشان داد این وسیله می‌تواند با تولید نیروی لیفت عمل بلند شدن شناور را از سطح آب را آسان‌تر کند. مقاومت شناور پروازی دارای یک نقطهٔ بیشینه

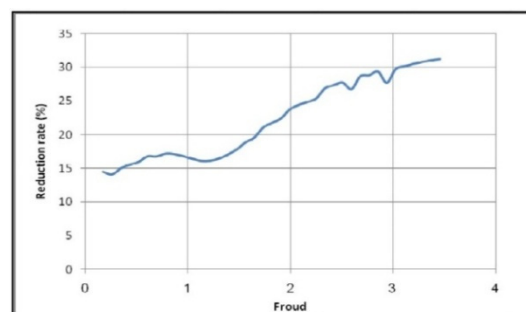
با توجه به آنچه مشاهده می‌شود برای استفاده از اینترسپتور نیاز به مشخص کردن محدودهٔ سرعت استفاده از آن و ارتفاع بهینه می‌باشد. بدیهی است در این صورت می‌توان شاهد نتایج قابل توجه و مطلوبی بود.

۴-۸- پژوهش چهارم؛ تحلیل هیدروفویل در عملکرد دینامیکی کاتاماران با بدنهٔ پروازی  
هدف یا نوع چالش: کاهش درگ در کاتاماران دوبدنی.

راهکار بررسی شده: استفاده از هیدروفویل.  
در پژوهش عنوان شده مسعود ترابی و همکارانش به بررسی اثر هیدروفویل در کاهش درگ پرداختند [۴۰]. این روش در ابتدا توسط هوپ و گروهش ارائه گردید [۴۱]. خطوط بدنی این شناور مطابق آنچه کالکینز ارائه کرده است، می‌باشد [۴۲].

برای بررسی اثر هیدروفویل برابر استاندارد اپلر مدل و مطابق آنچه هوپ در مطالعات ۱۹۹۰ انجام داده بود، انتخاب شد [۴۳].

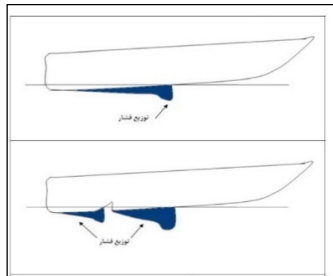
با توجه به عددی بودن مطالعه، محاسبات در نرم‌افزار مربوط انجام و نتایج آن با نتایج تجربی موجود مقایسه شد که بیانگر تطابق خوبی بوده است. شکل (۱۵) چگونگی وضعیت مقاومت در صورت استفاده از فویل در مدل مربوطه را بر حسب عدد فرود نشان می‌دهد. آنچه از نتایج این تحقیق به دست آمد نشان می‌دهد استفاده از هیدروفویل می‌تواند باعث تولید لیفت بیشتر و در نتیجه کاهش مقاومت گردد. مقدار تأثیر متوسط به دست آمده کاهش مقدار مقاومت هیدرودینامیکی تا ۳۰ درصد مقاومت شناور بسته به سرعت، زاویهٔ حمله و ابعاد شناور و سایر شرایط بوده است.



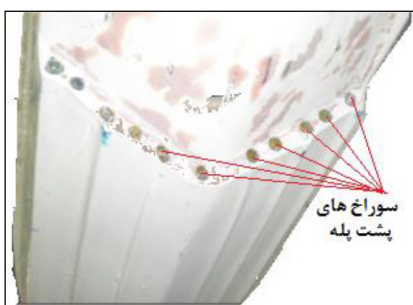
شکل (۱۵): وضعیت مقاومت در صورت وجود فویل بر حسب عدد فرود.

شکل (۱۹): وضعیت نیروی لیفت بعد از رسیدن به مرحله‌ی سُرش.

یکی از روش‌های کنترل این وضعیت ایجاد پله‌ی عرضی در کف شناور می‌باشد که می‌تواند وضعیت توزیع فشار را تغییر دهد. شماتیک تغییر توزیع فشار کف در شکل (۲۰) نشان داده شده است.



شکل (۲۰): وضعیت توزیع فشار در کف در دو حالت بدون پله‌ی عرضی و با پله‌ی عرضی.



شکل (۲۱): محل قرارگیری سوراخ‌های هوا در پله‌ی عرضی.

در پژوهش ششم، در این قسمت‌های پله‌ی عرضی هوا در پله شده و تأثیر آن مورد بررسی قرار گرفته است. شکل (۲۱) موقعیت‌های هوا در پله در نشان داده است. نمودار ارائه شده در شکل (۲۲) با مقایسه نسبت نیروی مقاومت به وزن و عدد فرود حجمی در مدل‌های با پله در حالت‌های هوا در پله بدون هوا در پله کاهش مقاومت را بررسی کرده است. استفاده از سیستم‌های هوا در پله تغذیه باعث کاهش قله در نمودار سرعت توان در شناورهای تندر و می‌گردد.

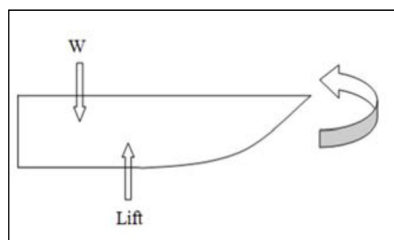
در نتیجه، موجب کاهش زمان عبور از این محدوده و رسیدن به وضعیت سرش می‌گردد که این موضوع علاوه بر افزایش عمر مفید سیستم محرکه، نشان‌دهنده‌ی تأثیر مطلوب این روش می‌باشد.

در سرعت‌های پایین است که سرعت طراحی شناور بعد از این نقطه تعریف می‌شود. تریم تب می‌تواند مقدار مقاومت در این نقطه را کاهش دهد و باعث شود شناور در رسیدن به سرعت طراحی توان کمتری مصرف کند. این موضوع بعد از عبور از این مرحله و در سرعت‌های بالاتر عکس می‌شود؛ یعنی، تریم تب باعث افزایش مقاومت می‌گردد. در نتیجه نیاز به کم کردن زاویه تا مقدار بهینه است.

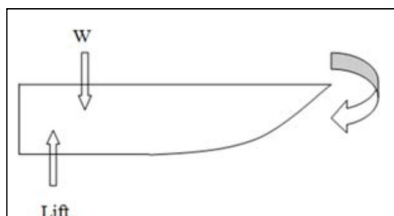
**۶-۷ پژوهش ششم؛ تحلیل تجربی تأثیر هوا در پله‌های عرضی شناورهای تندر و سرشی بر کاهش قله‌ی مقاومت منحنی آنها**

هدف یا نوع چالش: کاهش توان موردنیاز و زمان عبور از قله مقاومت و رسیدن به وضعیت سرشی.

راهکار بررسی شده: هوا در پله‌های عرضی شناور. در این مطالعه، سالاری و گروهش به بررسی هوا در تأثیر آن در زمان رسیدن به وضعیت سرش پرداختند [۴۶]. قبل از شروع سرش مرکز فشار در کف و معمولاً جلوتر از مرکز ثقل شناور قرار دارد اما در وضعیت سرش این نقطه به سمت عقب جابجا می‌شود و این نهایتاً موجب ایجاد تریم منفی و افزایش سطح خیس و جابجایی مجدد مرکز فشار به سمت نقطه اول می‌گردد، تکرار این سیکل موجب ایجاد ناپایداری دینامیکی یا پورپویزینگ می‌گردد [۴۷]. شکل‌های (۱۸) و (۱۹) به صورت شماتیک این وضعیت را نشان می‌دهند [۴۷].



شکل (۱۸): وضعیت نیروی لیفت قبل رسیدن به مرحله‌ی سُرش.



- بررسی پدیدهای کلوفیتاسیون در بدن و متعلقات مانند سکان و هیدروفویلها در صورت وجود.

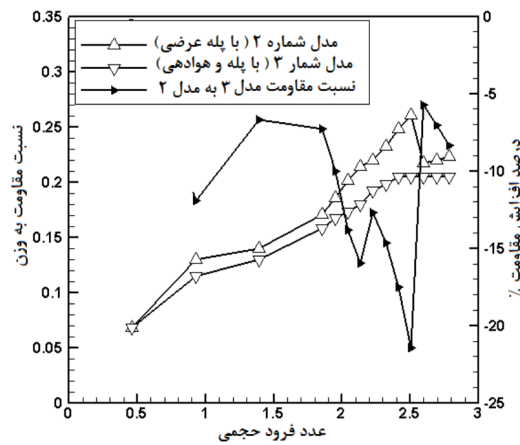
#### ۹- نتیجه‌گیری و جمع‌بندی

طرّاحی یک شناور تندری یک مسئله چندنهاده می‌باشد که نیاز به مشخص کردن اهداف دارد تا به تناسب آنها، چالش‌های مهم پیش‌رو نیز مشخص گردد و با توجه به نوع چالش بتوان راهکار مناسب را اتخاذ نمود. مثلاً، استفاده از یک قایق تندری جهت ماهیگیری با استفاده از آن جهت گشت دربایی یا موارد نظامی و یا سیاحتی کاملاً با هم از نظر نوع هدف، سرعت طرّاحی و مسائل ایمنی موردنیاز متفاوت می‌باشند. لذا، با توجه به مشخصات هر طرّاحی و نیاز مربوطه باید به انتخاب راهکار اقدام نمود. از این‌رو، در ادامه‌ی طی جدولی برخی از چالش‌ها و راهکارها ارائه گردیده است.

البته، قبل از ارائه‌ی جدول باید اضافه کرد که راهکارهای مناسب نیز به دو دسته تقسیم می‌شوند. دسته‌ی اول، راهکارهای کلی هستند که به‌طورکلی، برای طرّاحی هر شناور تندری با آن مواجه هستیم، مانند اینکه در همه‌ی شناورهای تندری به راهکاری جهت عبور از سرعت در محدوده‌ی سرعت شناورهای تندری و سُرسی نیاز داریم و دسته‌ی دوم، راهکارهای مختص هر چالش که با توجه به شرایط طرّاحی و ویژگی‌های شناور خواسته‌شده مختص آن نوع و مدل می‌باشد. عنوان برخی مشکلات و راهکارهای کلی موجود طی جدول شماره (۱) ارائه شده است.

جدول (۱): چالش‌ها و راهکارهای عمومی موجود در طرّاحی شناورهای تندری.

عنوان چالش یا علت استفاده	راهکارهای رایج	ر
کوبش کف و ضربات سنگین، حرکت ناخواسته پاشنه به طرفین و حرکت نازارم و عدم حفظ مسیر، مانور نامناسب	ایجاد زاویه‌ی خیز کف (درایزن) در سینه حدود ۲۶ درجه و در پاشنه حدود ۱۰-۱۸ درجه، یا استفاده از کف گرد	۱
وازگونی عرضی و حرکات هیل شدید	انحنای دیواره‌های جانبی به بیرون	۲
قرار گرفتن یک طرف بدنه شناور در حین دور زدن روی سطح آب (حرکت روی خط شکستگی یا چاین)	استفاده از نوارهای طولی	۳
کاهش مقاومت اسپری آب	استفاده از خط شکستگی	۴



شکل (۲۲): وضعیت نیروی مقاومت به وزن در حالت هواده‌ی و پله‌ی عرضی.

#### ۸- نتایج

به‌طورکلی، می‌توان در طرّاحی شناورهای تندری به نکاتی دست یافت که در هر طرّاحی باید مدنظر قرار بگیرد؛ اما درجه‌ی اهمیت آن ممکن است در هر طرّاحی با توجه به شرایط آن نسبت به طرّاحی شناور دیگر متفاوت باشد و این طراح است که با توجه به این شرایط نسبت به اولویت بندی و اتخاذ راهکارها جهت حل چالش‌ها اقدام می‌کند. با این وجود، تعدادی از عوامل کلی چالش‌زا که در هر طرّاحی نیاز به بررسی و کنترل داشته و از این مرور به‌دستآمده به شرح زیر بیان می‌گردد:

- پایداری عرضی در سرعت صفر در آب آرام.

- قابلیت مانور.

- دسترسی به سرعت بالا و پایداری دینامیکی در سرعت بالا.

- موقع پدیده‌های سانحه‌ساز و آسیب‌زننده به سازه‌ی مانند کوبش کف.

- وجود پدیده‌های مخرب مانند پاشش آب بر روی عرش، اسلامینگ، بروچینگ و ...

- وضعیت توزیع فشار بر روی بدنه، موقع فشار منفی نسبت به اتمسفر روی بدنه و محل جدایش جریان در طول بدنه.

- وضعیت ویژگی‌های هندسی بدنه، مانند خط چاین، کیل، ترانزیوم، خط باتوک و ...

- وضعیت مقطع عرضی (کف تخت، کف محدب یا وی شکل)، زاویه‌ی درایزن.

- وضعیت زاویه‌ی تریم در سرعت‌های مختلف.

- در مواردی که تولید چندتایی و سری مدنظر است بهتر است ابتدایاً یک نمونه آزمایشی جهت استفاده‌های کارفرما ساخته تا مشکلات و چالش‌های پیش روی آن مشخص و از بازخورد به دست آمده در نمونه‌های بعدی تصحیحات اعمال گردد.

- در سرعت‌های بالا پدیده پروپوزینگ به صورت خاص موردنبررسی قرار گیرد، در مراحل طراحی و شبیه‌سازی‌های رایانه‌ای نیز به دقت تحلیل گردد تا در عمل ایجاد چالش ننماید.

- برخی چالش‌ها در کوتاه‌مدت مشخص نمی‌شوند و عملاً غیر مهم به نظر می‌آیند اما در درازمدت عامل اتلاف هزینه و زمان زیادی می‌شوند، مانند مشکلات مربوط به خوردگی یا چالش‌های زیست‌محیطی، پیشنهاد می‌شود این‌گونه موارد در مبحثی جداگانه موردنبررسی قرار گیرد تا در الزامات طراحی ملحوظ گردد.

#### منابع:

- [1] Wright, C., "Operation and cost of high-speed craft," *Marine Technology*, Vol. 27, No. 2, pp. 104-113, 1990.
- [2] Savitsky, D., "Hydrodynamic design of planing hulls," *Marine Technology*, Vol. 1, No. 1, pp. 71-95, 1964.
- [3] Savitsky, D., and Brown, P. W., "Procedures for hydrodynamic evaluation of planing hulls in smooth and rough water," *Marine Technology*, Vol. 13, No. 4, pp. 381-400, 1976.
- [4] Savitsky, D., "Overview of planing hull developments," High Performance Marine Vehicle Conference and Exhibit, American Society of Naval Engineers, pp. 1-14, 1992.
- [5] Savitsky, D., "Inclusion of Whisker spray drag in performance prediction method for high-speed planing hulls," Technical Report SITDL- 06-9-2845, 2006.
- [6] Wagner, H., "Über stoss-und gleitvorgänge an der oberfläche von flüssigkeiten," *Journal of Applied Mathematics and Mechanics*, Vol. 12, No. 4, pp. 193-235, 1932.
- [7] Zhao, R., and Faltinsen, O. M., "Water entry of two dimensional bodies," *Journal of Fluid Mechanics*, Vol. 246, pp. 593-612, 1993.
- [8] Ikeda, Y., Yokomizo, K., Hamasaki, J., Umeda, T., and Katayama, N., "Simulation of running attitude and resistance of a high-speed craft using a database of hydrodynamic forces obtained by fully captive model experiments," 2nd International Conference on Fast Sea Transportation, Vol. 1, pp. 583-94, 1993.

۵	استفاده از پله‌ی عرضی در کف شناور	افزایش نیروی لیفت، توزیع نامناسب فشار در کف
۶	استفاده از زوایای خیز کف بسیار زیاد	ضریبات شدید در سرعت‌های بالا (حدوده‌ی ۵۰ گره دریایی)
۷	انحنای رو به بیرون زیاد دیواره‌های سینه از محل خط شکستگی (چاین)	اسلمینگ، کوبش کف و اسپری در سرعت بالا
۸	استفاده از چند خط حرکات آرام در سرعت‌های بالا و دریای موج	افزایش پایداری دینامیکی و
۹	استفاده از ۴-۳ نوار لیفت یا ریل اسپری (نوار طولی) در مقطع بدن شناور	کاهش سطح خیس و کاهش مقاومت اصطکاکی، تأمین پایداری دینامیکی بیشتر و حفظ مسیر
۱۰	استفاده از بیلچ نرم	افزایش پایداری استاتیکی
۱۱	تیر عمودی (بیلچ) زیر شناور و کیل	افزایش پایداری و راحتی و کاهش دامنه نوسانات عرضی
۱۲	جایجایی مرکز ثقل به سمت جلوی شناور، استفاده از صفحه‌ی تریم‌دهنده، افزایش زاویه‌ی خیز، کاهش ضرب منظری	کاهش نایپایداری دینامیکی

و نهایتاً آنچه در این مرور بررسی شد را می‌توان به قرار زیر جمع‌بندی نمود.

- در هر طراحی شرایط و محیط استفاده، سرعت طراحی، هزینه‌ها و امکانات، توان پروانه، توان نیرو محركه و سایر عوامل مهم و مؤثر ابتدایاً مشخص گردد. سپس، مرحله‌ی بعد طراحی را آغاز نمود.

- برابر آنچه در بند یک گفته شد کلیه امکانات و توانمندی‌ها ارزیابی و جهت امکان‌سنجی ساخت و طراحی برآوردهای لازم از قبیل مالی و پشتیبانی صورت پذیرد.

- شرایط شناور با جزئیات در محیط‌های شبیه‌سازی نرم افزاری ایجاد و نتایج دقیق و معتبر استحصلال گردد.

- پیشنهاد می‌شود در هر طراحی به گونه‌ای برنامه‌ریزی کرد که مدل نهایی شناور ساخته و تحت شرایط مختلف مورد تست قرار گیرد و نتایج به دست آمده با نتایج شبیه‌سازی مقایسه و اشکالات موجود برطرف گرددند.

- با توجه به برآوردها و بررسی‌ها، همچنین، نتایج شبیه‌سازی‌ها و تست‌های مدل انجام‌شده چالش‌های موجود در طراحی مشخص و برای هر کدام از آنها با توجه به امکانات موجود و شرایط، راهکار مناسب اتخاذ گردد.

- [23] Nagai, T., Yoshida, Y., and Kawasaki, T., "Minimum resistance hull form of planing craft with controlled trim angle," Naval Arch Japan, Vol. 137, pp. 48-57, 1995.
- [24] Karafitah, G. and Fisher, S. C., "The effect of stern wedges on ship powering performance," Naval Engineers, Journal, May, 1987.
- [25] Wang, C. T., "Wedge effect on planing hulls," J. Hydraulics, Vol. 14, No. 4, 1980.
- [۲۶] کریمی محمدحسین، سیف محمدسعید و عباسپور مجید، «بررسی تأثیر اینترسپتور در شناورهای تندری به صورت تجربی»، دوازدهمین همایش ملی صنایع دریایی ایران، زیباکنار، انجمن مهندسی دریایی ایران، ۱۳۸۹.
- [۲۷] مونسان محمد، «کتاب جامع مهندسی معماری دریایی»، چاپ دوم، بهار ۱۳۹۱.
- [۲۸] مهریزی اصغر، وفایی صفت عباس، سیف محمدسعید و حمید کاظمی، «بهینه‌سازی چندگانه‌ی شناورهای تندری حالت پروازی در آب‌های آرام»، دوازدهمین همایش ملی صنایع دریایی ایران، زیباکنار، انجمن مهندسی دریایی ایران، ۱۳۸۹.
- [29] Odd, M. F., "Hydrodynamic of high speed marine vehicles," Cambridge University Press, 40 West 20<sup>th</sup> Street, New York, NY 10011-4211, USA, 2005.
- [30] Katayam, T., "Experimental techniques to asses dynamic instability of high speed planing craft – non-zero heel, bow-diving, proposing and transverse proposing," Osaka Prefecture University, Japan, 2002.
- [31] Savitsky, D., "Wake shapes behind planing hull forms," International High-Performance Vehicle Conference, The Chinese Society of Naval Architecture and Marine Engineering, pp. 1-15, 1988.
- [۳۲] ضیایی فر سعیده، «بررسی و تحلیل پورپویزینگ شناور تندری سرعت متغیر در آب آرام»، پایان‌نامه کارشناسی ارشد مهندسی هیدرودینامیک، دانشکده مهندسی کشتی‌سازی و صنایع دریایی، دانشگاه صنعتی امیرکبیر، بهمن ماه ۱۳۸۶.
- [۳۳] وفایی صفت عباس، سیف محمدسعید، مهریزی اصغر و قصابزاده مرتضی، «بهینه‌سازی پارامترهای مؤثر در عملکرد شناورهای تندری حالت پروازی برای دست‌یابی به حداقل سرعت»، هجدهمین کنفرانس سالانه مهندسی مکانیک، تهران، دانشکده مهندسی مکانیک، دانشگاه شریف، ۱۳۸۹.
- [۳۴] میرزایی مهدی، «اثر پارامترهای هندسی شناورهای پروازی تونل دار بر روی مقاومت کلی آنها»، اولین همایش ملی توسعه پایدار دریامحور، خرمشهر، دانشگاه علوم و فنون دریایی خرمشهر، ۱۳۹۳.
- [35] Russel, J. D., "Secrets of tunnel boat design," First edition, Aeromarine press, 67 Highland Crescent, Cambridge, ON, Canada, N1S1M1,
- [36] Cuasanelli, D. S., and Cave, W. L., "Effect of stern flaps on powering performance of the FFG-7
- [9] Clement, E. P., and Blount, D. L., "Resistance tests of a systematic series of planing hull forms," Transaction of The Society of Naval Architects and Marine Engineers, Vol. 71, pp. 201-77, 1963.
- [10] Keuning, J. A., and Gerritsma, J., "Resistance tests of a series planing hull forms with 25 degrees deadrise angle," International Ship-Building Progress, Vol. 29, No. 337, pp. 222-249, 1982.
- [11] Keuning, J. A., Gerritsma, J., and Terwisscha, P. F., "Resistance tests of a series planing hull forms with 30 degrees deadrise angle and a calculation method based on this and similar systematic series," International Ship-Building Progress, Vol. 40, No. 424, pp. 333-382, 1993.
- [12] Savan, D., "Performance prediction of hulls with transverse steps," M.Sc Thesis, Royal Institute of Technology, Center for Naval Architecture, 2010.
- [13] Subramanian, V. A., Subramanyam, P. V. V., and Sulficker, N., "Pressure and drag influences Due to tunnels in high-speed planing craft," International Shipbuilding Progress, Vol. 54, pp. 25-44, 2007.
- [14] Doctors, L. J., "Representation of planing surface by finite pressure elements," Proceeding of the fifth Australian Conference on Hydraulics and Fluid Mechanics, New Zealand, 1974.
- [15] Sahoo, P. K., Doctors, L. J., and Pretlove, L., "CFD prediction of the wave resistance of a catamaran," International Conference in Marine Hydrodynamics, pp. 867-879, 2006.
- [16] Hino, T., Hirata, N., and Hori, T., "Calculation of free surface flows generated by planing craft," Proceeding FAST'91, PP.317-330, 1991.
- [17] Richard, P., Stephen, T., and Stephen, W., "Free surface CFD simulation of the flow around a planing plat," International Conference on Fast Sea Transportation, FAST' 2001, 4<sup>th</sup> -6<sup>th</sup>, Southampton, UK, Sep., 2001.
- [18] Brizzolara, S., and Serra, F., "Accuracy of CFD codes in the prediction of planing surfaces hydrodynamic characteristics," 2nd International Conference on Marine Research and Transportation, Naples, Italy, Vol. 1, pp. 147-159, 2007.
- [19] Savander, B. R., and Rhee, S. H., "Steady planing hydrodynamics: comparison of numerical and experimental results," Fluent Users' Group Manchester, NH, 2003.
- [20] Bowles, J. B., and Denny, S. B., "Water surface disturbance near the bow of high, hard Chine-hull forms," International Conference on Fast Sea Transportation, FAST' 2005, June, Russia, 2005.
- [21] Yaakob, O., Shamsuddin, S., and King, K. K., "Stern flap for resistance reduction of planing hull craft," Jurnal Teknologi, Vol. 41(A) Dis, pp. 43–52, 2004.
- [22] Bojovic, P., and Sahoo, P. K., "Effect of stern wedges and advanced spray rail system on calm water resistance of high speed displacement," AMECRC Internal Report 95/5, pp. 1-93, 1996.

class,” Marine Technology, Vol. 30, No. 1, Jan. 1993.

[37] Cuasanelli, D. S., and Karafiath, G., “Advances in stern flap design and application,” International Conference on Fast Sea Transportation, Fast 2001, Southampton, UK, Sep. 2001.

[38] Tsai, J. F., and Huang, J. k. “Study on the effect of interceptor on high speed craft,” Journal of Society of Naval Architects and Marine Engineers, Roc, Vol. 22, No. 2, pp. 95-101, 2003.

[39] Karimi, M. H., “Hydrodynamic quality improvement techniques for high speed planing crafts,” 7th Conferencing on Marine Industries, Tehran, Jan. 2006.

[۴۰] ترابی آزاد مسعود، نوروزی عبدالحسین و صادقی محمدحسین، «تحلیل عددی تأثیر هیدروفویل در عملکرد دینامیکی کاتاماران با بدنه‌ی پروازی»، سیزدهمین همایش ملی صنایع دریایی ایران، جزیره کیش، انجمن مهندسی دریایی ایران، ۱۳۹۰.

[41] Karl Gunther, W. H, “Catamaran with hydrofoils,” US patent, United States, 1982.

[42] Calkins, D. E., Shachter, R. D., and Olivera, L. T., “An automated computational method for planing hull form definition in concept design, Ocean engineering, Vol. 28, pp. 297-327, 2001.

[43] Hoppe, K. G. W., “Performance evaluation of high speed surface craft with reference to the Hysucat development,” Fastcc Research Report, 1990.

[۴۴] صیادی حسن، تمدن‌دار محمدهاشم و سیف محمدسعید، «بررسی تأثیر تریم تب بر عملکرد شناور تندره با بدنه‌ی پروازی»، سیزدهمین همایش ملی صنایع دریایی ایران، جزیره کیش، انجمن مهندسی دریایی ایران، ۱۳۹۰.

[45] Ward Brown, P., “An experimental and theoretical study of planing surfaces with trim flaps,” Davidson Laboratory Technical Report, 1971.

[۴۶] سalarی محمود، سیف محمدسعید و Timori Mehdi, «تحلیل تجربی تأثیر هوادهی به پله‌های عرضی شناورهای تندره سرشی بر کاهش قله‌ی منحنی مقاومت آنها»، دو فصل‌نامه علمی پژوهشی دریافنون، سال دوم، بهار و تابستان ۱۳۹۴.

[47] Faltinsen, O. M., “Hydrodynamics of high-speed marine vehicles,” Cambridge University Press, pp. 342-360, 2010.